



УДК 621Ю31(0758)

© 2007

Член-корреспондент НАН України А. Е. Божко

**Об аналитической интерпретации процессов в RL -,
 RC -цепях с учетом особого разложения входных
прямоугольных импульсов**

We give a solution of the problem on transient processes in RL - and RC -circuits under an input rectangular pulse voltage represented in the form of a special expansion.

В работах [1–3] представлено обоснование применимости особого разложения скачкообразной функции $E1(t)$ в виде

$$E1(t) = E(1 - \ell^{-\alpha t}) + \ell^{-\alpha t} \sum_{k=1}^n U_{ak} \cos \omega_k t, \quad (1)$$
$$U_{ak} = \frac{U_{a1}}{\omega_k}, \quad U_{a1} = \frac{E}{\pi \omega_1}, \quad \sum_{k=1}^n U_{ak} = E, \quad \omega_k = k \omega_1,$$

где $1(t)$ — единичная функция $\begin{pmatrix} 1(t) = 1 & \text{при } t \geq 0 \\ 1(t) = 0 & \text{при } t < 0 \end{pmatrix}$; E — величина функции $E1(t)$; α — коэффициент затухания; t — время; U_{ak} , ω_k — амплитуда и круговая частота k -й гармоники соответственно.

В работе [1] приведен расчет переходных процессов в RL -, RC -цепях при скачкообразном входном напряжении $E1(t)$. В реальных условиях бывает, что на вход RL -, RC -цепей поступают одиночные или периодические прямоугольные импульсы с амплитудой E , длительностью τ и паузой τ_n при периодических импульсах. В этом случае одиночный прямоугольный импульс с бесконечно малыми передним и задним фронтами представляет собой сумму скачкообразных функций $E1(t)$ и $E1(t - \tau)$, которая при рассмотрении рис. 1 и учете разложения (1) имеет вид

$$E(0, \tau) = E(1 - \ell^{-\alpha t}) + \ell^{-\alpha t} \sum_{k=1}^n U_{ak} \cos \omega_k t - E[1 - \ell^{-\alpha(t-\tau)}] -$$
$$- \ell^{-\alpha(t-\tau)} \sum_{k=1}^n U_{ak} \cos \omega_k(t - \tau). \quad (2)$$

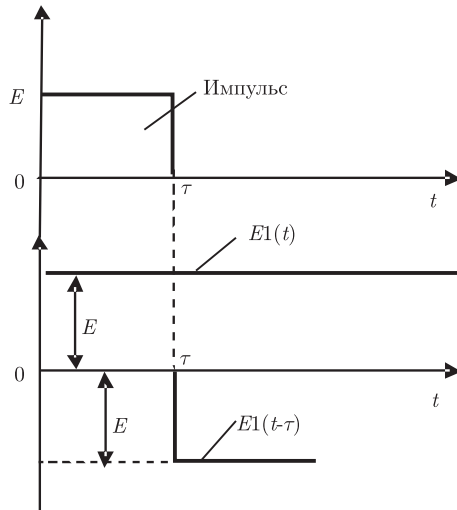


Рис. 1



Рис. 2

Из рис. 1 видно, что во время $t = (0 \div \tau)$ величина импульса после затухания, определяемого коэффициентом затухания α , когда выражение $\ell^{-\alpha t}$ в (2) станет равным нулю, принимает значение E . Кроме того, при $t = 0$ $E(0, \tau) = E$, так как $\sum_{k=1}^n U_{ak} = E$, что соответствует условию существования скачкообразной функции $\begin{cases} 1(t) = 1 & \text{при } t \geq 0 \\ 1(t) = 0 & \text{при } t < 0 \end{cases}$. При $t = \infty$ $E(0, \tau) = 0$, т. е. импульса нет.

Если принять, что коэффициент затухания $\alpha = \infty$, то в промежутке $t = (0 \div \tau)$ $E(0, \tau) = E$, а после $t = \tau$ $E(0, \tau) = 0$, что подтверждает правильность (2).

Таким образом, импульс $E(0, \tau)$ формируем с помощью разности скачкообразных функций $E1(t) - E1(t - \tau)$, представленных в виде особого разложения (2). Будем считать, что такой прямоугольный импульс существует в промежутке $(0 \div \tau)$ с учетом только $E1(t) = E[1 - \ell^{-\alpha t}] + \ell^{-\alpha t} \sum_{k=1}^n U_{ak} \cos \omega_k t$. Разность $E1(t) - E1(t - \tau)$ возникает в момент τ и после него, так как $E1(t - \tau) = \begin{cases} E & \text{при } t \geq \tau \\ 0 & \text{при } t < \tau \end{cases}$.

В данной задаче предполагаем, что рассматриваемый прямоугольный импульс подается на вход RL и RC цепей, представленных на рис. 2, *a*, *б* соответственно, где Кл — ключ; R — резистор; L — индуктивность; C — емкость.

Дифференциальные уравнения этих схем в данном случае следующие:

$$\begin{aligned} E(1 - \ell^{-\alpha t}) + \ell^{-\alpha t} \sum_{k=1}^n U_{ak} \cos \omega_k t - E[1 - \ell^{-\alpha(t-\tau)}] - \ell^{-\alpha(t-\tau)} \sum_{k=1}^n U_{ak} \cos \omega_k(t - \tau) = \\ = Ri + L \frac{di}{dt}, \end{aligned} \quad (3)$$

$$\begin{aligned} E(1 - \ell^{-\alpha t}) + \ell^{-\alpha t} \sum_{k=1}^n U_{ak} \cos \omega_k t - E[1 - \ell^{-\alpha(t-\tau)}] - \ell^{-\alpha(t-\tau)} \sum_{k=1}^n U_{ak} \cos \omega_k(t - \tau) = \\ = U_C + RC \frac{dU_C}{dt}, \end{aligned} \quad (4)$$

где i , U_C — ток в цепи RL и напряжение на емкости C в цепи RC соответственно.

В выражениях (3), (4) $\cos \omega_k(t - \tau)$ представим в виде разложения $\cos \omega_k(t - \tau) = (\cos \omega_k t) \cos \omega_k \tau + (\sin \omega_k t) \sin \omega_k \tau$. В дальнейшем рассмотрим изменение тока $i(t)$ в RL -цепи, а затем, ввиду идентичной формы уравнений (3) и (4), осуществим выводы относительно напряжения U_C в RC -цепи. При решении используем операционный метод с изображениями Карсона [4]. Изображение, соответствующее оригиналу, представленному в левых частях уравнений (3), (4), имеет вид

$$\begin{aligned} E(p) = E \frac{\alpha}{p + \alpha} - E + E \ell^{\alpha \tau} \frac{p}{p + \alpha} + \sum_{k=1}^n U_{ak} \frac{p(p + \alpha)}{(p + \alpha)^2 + \omega_k^2} - \\ - \ell^{-\alpha \tau} \sum_{k=1}^n U_{ak} (\cos \omega_k \tau) \frac{p(p + \alpha)}{(p + \alpha)^2 + \omega_k^2} - \ell^{-\alpha \tau} \sum_{k=1}^n U_{ak} (\sin \omega_k \tau) \frac{\omega_k p}{(p + \alpha)^2 + \omega_k^2}. \end{aligned} \quad (5)$$

На основании (5) изображение, соответствующее (3), имеет вид $E(p) = I(p)(R + Lp)$, откуда, с учетом (5), запишем изображение тока

$$\begin{aligned} I(p) = \frac{E\alpha}{L} \frac{1}{(p + \alpha)(p + \delta)} - \frac{E}{L(p + \delta)} + \frac{E \ell^{\alpha \tau}}{L} \frac{p}{(p + \alpha)(p + \delta)} + \\ + \sum_{k=1}^n \frac{U_{ak}}{L} \frac{p(p + \alpha)}{(p + \delta)[(p + \alpha)^2 + \omega_k^2]} - \ell^{-\alpha \tau} \sum_{k=1}^n \frac{U_{ak}}{L} (\cos \omega_k \tau) \frac{p(p + \alpha)}{(p + \delta)[(p + \alpha)^2 + \omega_k^2]} - \\ - \ell^{-\alpha \tau} \sum_{k=1}^n \frac{U_{ak}}{L} (\sin \omega_k \tau) \frac{\omega_k p}{(p + \delta)[(p + \alpha)^2 + \omega_k^2]}, \end{aligned} \quad (6)$$

где $\delta = R/L$ — коэффициент затухания в RL -цепи.

Оригинал тока $i(t)$ состоит из шести слагаемых, которые включены в (6). Поэтому будем определять оригиналы этих слагаемых, а затем представим выражение общего оригинала $i(t)$, пользуясь таблицами [4].

Для первых трех слагаемых в (6) оригинал имеет вид

$$i_1(t) = \frac{E\alpha}{L} \left[\frac{1}{\alpha\delta} + \frac{1}{\alpha - \delta} \left(\frac{1}{\alpha} \ell^{-\alpha t} - \frac{1}{\delta} \ell^{-\delta t} \right) \right] - \frac{E}{L} \frac{1}{\delta} (1 - \ell^{-\delta t}) + \frac{E \ell^{\alpha \tau}}{L} \left[\frac{1}{\alpha - \delta} (-\ell^{-\alpha t} + \ell^{-\delta t}) \right]. \quad (7)$$

Оригиналы, соответствующие остальным слагаемым в (6), будем находить для k -го слагаемого в своей сумме $\left(\sum_{k=1}^n \dots\right)$, а затем результаты складывать. Заметим, что второе и третье слагаемое в (6) имеют похожий вид. Поэтому для k -й составляющей этих слагаемых осуществим следующее представление:

$$\frac{U_{ak}}{L}(1 - \ell^{-\alpha\tau} \cos \omega_k \tau) \frac{p(p + \alpha)}{(p + \delta)[(p + \alpha)^2 + \omega_k^2]}. \quad (8)$$

Оригинал изображения (8) находим по таблицам Т.39 и Т.40 из [4] в виде

$$\frac{U_k p \alpha}{(p + \delta)[(p + \alpha)^2 + \omega_k^2]} \Leftrightarrow U_k \frac{\alpha}{(\alpha - \delta)^2 + \omega_k^2} \times \\ \times \left\{ \ell^{-\delta t} + \frac{\ell^{-\alpha t}}{\omega_k} [-\omega_k \cos \omega_k t + (\delta - \alpha) \sin \omega_k t] \right\} = i_2(t), \quad (9)$$

$$\frac{U_k p^2}{(p + \delta)[(p + \alpha)^2 + \omega_k^2]} \Leftrightarrow U_k \frac{1}{(\alpha - \delta)^2 + \omega_k^2} \times \\ \times \left\{ -\delta \ell^{-\delta t} + \frac{\ell^{-\alpha t}}{\omega_k} [\omega_k \delta \cos \omega_k t + (\omega_k^2 + \alpha^2 - \alpha \delta) \sin \omega_k t] \right\} = i_3(t), \quad (10)$$

где $U_k = \frac{U_{ak}}{L}(1 - \ell^{-\alpha\tau} \cos \omega_k \tau)$.

Далее перейдем к определению оригинала изображения

$$\frac{U_{ak}}{L} \ell^{-\alpha\tau} \omega_k \sin \omega_k \tau \frac{p}{(p + \delta)[(p + \alpha)^2 + \omega_k^2]},$$

который находится по таблице Т.39 из [4] в виде

$$E_k \frac{1}{(\alpha - \delta)^2 + \omega_k^2} \left\{ \ell^{-\delta t} + \frac{\ell^{-\alpha t}}{\omega_k} [-\omega_k \cos \omega_k t + (\delta - \alpha) \sin \omega_k t] \right\} = i_4(t), \quad (11)$$

где $E_k = \frac{U_{ak}}{L} \ell^{-\alpha\tau} \omega_k \sin \omega_k \tau$.

Складывая выражения (7) и в своих суммах $\left(\sum_{k=1}^n \dots\right)$ выражения (9), (10), (11), получим в результате общий оригинал тока $i(t)$ в виде

$$i(t) = \frac{E\alpha}{L} \left[\frac{1}{\alpha\delta} + \frac{1}{\alpha - \delta} \left(\frac{1}{\alpha} \ell^{-\alpha t} - \frac{1}{\delta} \ell^{-\delta t} \right) \right] - \frac{E}{L\delta} (1 - \ell^{-\delta t}) + \\ + \frac{E\ell^{\alpha\tau}}{L} \left[\frac{1}{\alpha - \delta} (-\ell^{-\alpha t} + \ell^{-\delta t}) \right] + \frac{1}{L} \sum_{k=1}^n U_{ak} \frac{\alpha}{(\alpha - \delta)^2 + \omega_k^2} \times \\ \times \left\{ \ell^{-\delta t} + \frac{\ell^{-\alpha t}}{\omega_k} [-\omega_k \cos \omega_k t + (\delta - \alpha) \sin \omega_k t] \right\} + \frac{U_{ak}}{L} (1 - \ell^{-\alpha\tau} \cos \omega_k \tau) \times \\ \times \frac{1}{(\alpha - \delta)^2 + \omega_k^2} \left\{ -\delta \ell^{-\delta t} + \frac{\ell^{-\alpha t}}{\omega_k} [\omega_k \delta \cos \omega_k t + (\omega_k^2 + \alpha^2 - \alpha \delta) \sin \omega_k t] \right\} - \\ - \frac{U_{ak}}{L} \ell^{-\alpha\tau} \omega_k (\sin \omega_k \tau) \left\{ \ell^{-\delta t} + \frac{\ell^{-\alpha t}}{\omega_k} [-\omega_k \cos \omega_k t + (\delta - \alpha) \sin \omega_k t] \right\}. \quad (12)$$

Выражение (12) отражает процесс изменения тока $i(t)$ в RL -цепи при включении на ее вход одиночного прямоугольного импульса $(0 \div \tau)$, описываемого в виде особого разложения скачкообразной функции [1]. Заметим, что при проверке (2) путем подстановки $t = 0$ и $t = \infty$, т. е. до начала входного импульса и после его прохождения i (при $t = \infty$) ток $i(t) = 0$, а в промежутке времени $(0 \div \tau)$ ток $i(t)$ описывается выражением (12). В случае, если на входе RL -цепи будет следовать ряд прямоугольных импульсов с длительностью пауз такой, что ток $i(t)$ в течение паузы равен нулю, то для расчета тока при последующих импульсах выражение (12) также справедливо.

Следует отметить, что при расчете переходных процессов в рассматриваемых цепях при входных прямоугольных импульсах надо брать во внимание для переднего фронта входное напряжение вида (1), а для заднего фронта $-E[1 - \ell^{-\alpha(t-\tau)}] - \ell^{-\alpha(t-\tau)} \sum_{k=1}^n U_{ak} \cos \omega_k(t - \tau)$ при условии для последнего при $t = 0$ не нулевые начальные условия, т. е. для тока $i(t)$ E/R и напряжения U_{C_0} .

Переходный процесс тока $i(t)$ при включении RL -цепи на напряжение (1) имеет вид

$$i(t) = \frac{E\alpha}{L} \left[\frac{1}{\alpha\delta} + \frac{1}{\alpha - \delta} \left(\frac{1}{\alpha} \ell^{-\alpha t} - \frac{1}{\delta} \ell^{-\delta t} \right) \right] + \sum_{k=1}^n \frac{U_{ak}}{L} \frac{1}{(\alpha - \delta)^2 + \omega_k^2} \{ (\alpha - \delta) \ell^{-\delta t} + \ell^{-\alpha t} [-(\alpha - \delta) \cos \omega_k t + \omega_k \sin \omega_k t] \}. \quad (13)$$

При $t = 0$ $i(0) = 0$, при $t = \infty$ $i(\infty) = E/(L\delta) = E/R$, т. е. данная проверка подтверждает правильность (13). Если предположить, что коэффициент затухания $\alpha = \infty$, то тогда (13) принимает вид

$$i(t) = \frac{E}{L\delta} (1 - \ell^{-\delta t}) = \frac{E}{R} (1 - \ell^{-\delta t}). \quad (14)$$

Выражение (14) является результатом расчета переходного процесса тока $i(t)$ в RL -цепи классическим методом. А это значит, что решение в виде (13) при условии $\alpha = \infty$ не противоречит известным методам [4, 5].

Рассмотрение переходного процесса $i(t)$ во время заднего фронта входного прямоугольного импульса при наличии установившегося значения тока $i(t) = E/R$ можно считать искусственно привязанным к нулевому отсчету времени. А это означает, что выражение переходного процесса тока $i(t)$ будет следующим:

$$i(t) = E(1 - \ell^{-\delta t}) - \frac{E\alpha}{L} \left[\frac{1}{\alpha\delta} + \frac{1}{\alpha - \delta} \left(\frac{1}{\alpha} \ell^{-\alpha t} - \frac{1}{\delta} \ell^{-\delta t} \right) \right] - \sum_{k=1}^n \frac{U_{ak}}{L} \frac{1}{(\alpha - \delta)^2 + \omega_k^2} \{ (\alpha - \delta) \ell^{-\delta t} + \ell^{-\alpha t} [-(\alpha - \delta) \cos \omega_k t + \omega_k \sin \omega_k t] \}. \quad (15)$$

Проверка (15) дает такие результаты: при $t = 0$ $i(t) = E(1 - \ell^{-\delta t})/R$, при $t = \infty$ $i(t) = 0$, при $\alpha = \infty$ $i(t) = E(1 - \ell^{-\delta t})\ell^{-\delta t}$, что также подтверждает правильность данного решения. При такой проверке считаем, что $\alpha \gg \delta$ и экспонента $(1 - \ell^{-\alpha t})$ на вершине импульса равна единице, т. е. во входном напряжении полностью произошло затухание составляющих.

Далее перейдем к RC -цепи (см. рис. 2, б). Сравнивая уравнения (3) и (4), не вдаваясь в физику процесса, видим, что они по форме идентичны. Правые части их могут быть выражены следующим образом:

$$L\left(\frac{R}{L}i + \frac{di}{dt}\right) \quad \text{и} \quad RC\left(\frac{1}{RC}U_c + \frac{dU_c}{dt}\right).$$

В RL -цепи $R/L = \delta$, а в RC -цепи $\delta = 1/(RC)$, где еще раз отметим δ — коэффициент затухания.

С учетом δ эти правые части имеют вид

$$\frac{R}{\delta}\left(\delta i + \frac{di}{dt}\right) \quad \text{и} \quad \frac{1}{\delta}\left(\delta U_c + \frac{dU_c}{dt}\right).$$

Как видим, выражения за исключением множителя R в первом выражении по форме одинаковые. Левые части уравнений (3) и (4) также одинаковые. Поэтому можно считать, что выражение (12) по форме подходит для описания переходного процесса $U_c(t)$ в RC -цепи ((12) необходимо разделить на R).

Исходя из такого рассуждения, расчет переходного процесса U_c в RC -цепи опустим. Конечно, выражение (12) является более громоздким по сравнению с выражениями исследуемых переходных процессов известными методами [4, 5]. Однако, как было отмечено в работах [1, 3], представление скачкообразных входных сигналов электроцепей в виде особого разложения более точно отражает физику начального участка переходного процесса. Именно это преимущество заставляет автора исследовать переходные процессы в различных цепях, представляя математически скачкообразные входные сигналы в виде особого разложения.

1. *Божко А. Е.* Новая интерпретация переходных процессов в электрических цепях // Доп. НАН України. — 2004. — № 9. — С. 83–87.
2. *Божко А. Е.* О новой трактовке переходных процессов в электрических цепях переменного тока // Там само. — 2005. — № 4. — С. 81–86.
3. *Божко А. Е.* Аргументация новой концепции о переходных процессах в электроцепях с позиций волновой механики // Там само. — 2006. — № 3. — С. 83–88.
4. *Гинзбург С. Г.* Методы решения задач по переходным процессам в электрических цепях. — Москва: Сов. радио, 1959. — 404 с.
5. *Бессонов Л. А.* Теоретические основы электротехники. — Москва: Высш. шк., 1978. — 528 с.

*Институт проблем машиностроения
им. А. Н. Подгорного НАН Украины, Харьков*

Поступило в редакцию 30.11.2006